

برآورد فرسایش کناره‌ای رودخانه با استفاده از مدل BSTEM

محمدمهری حسینزاده^{۱*} و رضا اسماعیلی^۲

۱. دانشیار گروه جغرافیای طبیعی، دانشکده علوم زمین، دانشگاه شهید بهشتی

۲. دانشیار ژئومورفولوژی، گروه جغرافیای دانشگاه مازندران

تاریخ دریافت: ۹۵/۰۹/۲۴

تاریخ پذیرش: ۹۵/۱۲/۱۶

چکیده

فرسایش کناره‌ای یکی از منابع اصلی تولید رسوب در رودخانه‌ها شناخته می‌شود، هرچند تعیین و برآورد سهم رسوب از فرسایش کرانه رود مشکل است. هدف این مقاله نشان دادن کارایی مدل BSTEM به عنوان یک ابزار مناسب برای تعیین و تشخیص شرایط حاکم بر کرانه رودخانه در راستای حفاظت از رود و ارزیابی اهمیت فرسایش رودخانه‌ای و وزگی‌های پوشش گیاهی و فشار آب منفذی نزدیک کرانه است. مدل پایداری کرانه و فرسایش پای آن (BSTEM) بهمنظور پیش‌بینی پس‌روی کرانه رودخانه به علت فرسایش رودخانه‌ای و شکست ژئوتکنیکال طراحی شده است. در این تحقیق همچنین مدل BSTEM برای شبیه‌سازی فرسایش هیدرولیک در پای کرانه و پایداری کرانه در طول یک سری وقایع جریانی (دبی لالبی، دبی متوسط سیلان و دبی حداکثر سیلان) بهمنظور ارزیابی تغییرات فعلی (موجود) و بالقوه در فراوانی شکست کرانه (فاکتور اینمی یا FS) و بار رسوبی حاصل از کرانه رود استفاده شده است. موقعیت مورد مطالعه در بخش خروجی رودخانه لاویج از کوهستان در منطقه پارک کشپل (چمستان-نور) قرار دارد. در این بخش هرساله فرسایش کناره‌ای قابل توجهی به‌واسطه وقوع سیلان‌های بزرگ رخ می‌دهد. مطالعات نشان داد که در کرانه رودخانه لاویج با لایه‌بندی متفاوت پس‌روی قابل توجهی در طول وقایع جریانی بزرگ رخ می‌دهد. درواقع سیلان‌هایی که با دوره بازگشت بیش از ۱۰ سال رخ می‌دهند، نقش اصلی در فرسایش کناره‌ای و فرایند پس‌روی عرضی بر عهده دارند. نتایج تحلیل مدل نشان می‌دهد که پس‌روی اندازه‌گیری شده در کرانه رود در سناریوهای مختلف از صفر تا ۸۱ سانتی‌متر تغییر می‌کند و شرایط پایداری کرانه نیز در اولین سناریو ناپایدار ($FS = 0.9$) و در سناریوی دوم و سوم تقریباً پایدار ($FS = 1.15 - 1.26$) است. اضافه شدن پوشش گیاهی بالای کرانه مقاومت چسبندگی در یک متر بالای کرانه را افزایش داده و منجر به کاهش بیشتر فراوانی و حجم شکست کرانه می‌شود. نتایج نشان داده است که درنتیجه دخالت حفاظت‌های انجام‌گرفته بر روی کرانه‌های فرسایش پذیر، حجم کلی رسوبات فرسایش یافته از کرانه را می‌توان کاهش داد.

واژه‌های کلیدی: فرسایش رودخانه‌ای، BSTEM، رودخانه لاویج، فرسایش کرانه رود، پایداری کرانه رود.

مقدمه

موارد فعالیت‌های انسانی مانند تغییرات کاربری اراضی در سطح حوضه و به دنبال آن افزایش رواناب ناشی از بارش، تخریب و نابودی پوشش گیاهی حاشیه رودخانه و تنظیم و بهسازی کanal رود (مستقیم کردن و تعریض کanal) تغییراتی

فرسایش، یک فرآیند بیرونی است که باعث جابجایی سنگ و خاک می‌شود و فرسایش کناره‌ای رودخانه نیز یک رفتار طبیعی در سیستم رودخانه‌ای است، اما در بسیاری از

* نویسنده مرتبط: m_hoseinzadeh@sbu.ac.ir

کرانه رود در ارتباط هستند. این بدین معنی است که عملکرد فرایندهای فرسایشی در کرانه‌های رودخانه‌ای با لایه‌های مختلف رسوبی شامل رسوبات چسبنده، غیرچسبنده و ترکیبی متفاوت خواهد بود (حسینزاده و اسماعیلی، ۱۳۹۴). کنترل پای کرانه هم اهمیت زیادی در نیميخ، شکل، پایداری و میزان پس‌روی کرانه‌های رود دارد. این نقش کنترلی برای رودهای با اندازه‌های مختلف و ساختار مواد رسوبی متفاوت، اهمیت مشابهی دارد. رسوبات موجود در مجاورت کرانه رودخانه یا از بالادست رود و یا درنتیجه فرسایش کرانه و گسیختگی آن تغذیه می‌شوند. این رسوبات واردشده به کanal رود ممکن است به پایین‌دست رود جابجا شوند و یا درنتیجه جریان‌های ثانویه در کanal و عمل امواج به وسط رودخانه منتقل شوند. این شار رسوب، موجب تعادل یا عدم تعادل در پای کرانه رود شده و یک عامل کنترلی مهم برای فرسایش کرانه رود محسوب می‌شود. در شرایطی که خروجی رسوب بیشتر از ورودی آن باشد، فرسایش ایجاد می‌شود. در این حالت بستر رود و کرانه فرسایش یافته و ارتفاع و زاویه کرانه افزایش می‌یابد، درنتیجه پایداری کرانه کاهش یافته و موجب حرکات توده‌ای می‌شود.

مشکلات مرتبط با فرایندهای فرسایش کرانه رود در نواحی مختلف دنیا خیلی مهم قلمداد شده (Dapporto et al., 2013) و در طول دهه‌های اخیر افزایش یافته است (Rinaldi and Simon, 1998). مطالعه ناپایداری کرانه رود از اواخر ۱۹۶۰ (Lohnes and Handy, 1968) و بهویژه (Thorne et al., 1981 and 1996; Little ۱۹۸۰) از اوایل ۱۹۸۰ (Thorne, 1982; Osman and Thorne, 1988; Simon, 1989; Simon et al., 1991; Thorne, 1992 and 1998) به طور ویژه بر مواد تشکیل‌دهنده کرانه متمرکز شده‌اند. بعد از آن، داربی و تورن (Darby and Thorne, 1996) تراز جریان و سطح ایستابی آب را مورد بررسی قرار داده‌اند و در ادامه این مطالعات نیز رینالدی و کاسالگی (Rinaldi and Casagli, 1999) روش‌های مبتنی بر مکانیزم خاک غیراشباع را برای مطالعه مشکلات ناپایداری کرانه رود آغاز کرده‌اند.

در ایران نیز بررسی فرسایش کرانه رود در مناطق مختلفی

را در سیستم رودخانه‌ای ایجاد می‌کند که نتیجه آن تسریع و افزایش فرسایش کناره‌ای رود است. تغییرات صورت گرفته در سیستم رودخانه‌ای می‌تواند منجر به افزایش نرخ فرسایش تا هزاران بار بیشتر از مقداری شود که در رودخانه‌های طبیعی تعادل رخ می‌دهد.

عملکرد سیستمی رودخانه موجب می‌شود هر تغییری در مؤلفه‌های کanal رود، بر سایر متغیرها نیز تأثیر بگذارد. کرانه رود هم بخشی از سیستم کنش-واکنش رودخانه محسوب می‌شود و به دلایل زیر اهمیت دارد:

- بخشی از رسوباتی که وارد جریان رودخانه می‌شود از کرانه‌های رود تغذیه می‌شوند.
- تغییرات ابعاد کanal مانند عرض و عمق با ویژگی‌های کرانه و فرسایش آن‌ها در ارتباط است.
- ویژگی‌های الگوی رود هم با فرسایش کرانه رود ارتباط دارد.

فرسایش کرانه رود یکی از علل عدمه آلدگی غیر نقطه‌ای منابع آب و افزایش بار رسوب در بسیاری از رودخانه‌ها است (Rosgen, 2001; Simon and Darby, 1999; Sekely et al., 2002; Evans et al., 2006; Wilson et al., 2008)

افزایش فرسایش کناره‌ای نه تنها موجب افزایش بار رسوب می‌شود بلکه موجب ناپایداری رودخانه و تغییر نوع جریان و الگوی کanal هم می‌شود. از این رو طی چند دهه‌ی اخیر بار رسوب و ناپایداری کناره‌ای رودخانه‌ها، نگرانی‌های عدمه‌ای را در سطح جهان ایجاد کرده و مبالغه زیادی برای پایداری کناره‌های رود صرف شده است (Lavendel, 2002; Bernhardt et al., 2005).

تورن (Thorne, 1982) فرایندهای فرسایشی کرانه رود را به دو گروه اصلی تقسیم‌بندی کرد: (الف) سایش رودخانه‌ای (عمل هیدرولیک) که رابطه نزدیکی با ویژگی‌های جریان خصوصاً سرعت جریان در نزدیک کرانه و آشفتگی محلی دارد. (ب) سست شدگی و هوازدگی رسوبات و خاک که به ویژگی‌های مواد رسوبی کرانه، اندازه، خصوصیات هندسی و ساختار کرانه بستگی دارد. مهم‌ترین فرایندهای فرسایش کناره‌ای رود عبارتند از: فشار منفذی آب، تناوب مرتبط و خشک شدن، یخ‌بندان و ذوب یخ، شستشو و یا آبسوبی و عوامل انسانی. فرایندهای فوق با ویژگی‌های رسوبات و خاک

کرانه و مقدار تولید رسوب ناشی از شکست کرانه و فرسایش کرانه کanal، شبیه‌سازی فرسایش کناره‌ای در رویدادهای سیل مختلف بر اساس عمق و دوره جریان در وضعیت‌های متفاوت است.

موقعیت مورد مطالعه

گستره مورد مطالعه در حوضه آبریز لاویج رود و در محدوده پارک جنگلی کشپل قرار دارد. این پارک جنگلی در بخش جنوبی شهر چمستان (شهرستان نور) و در استان مازندران واقع شده است (شکل ۱). مساحت حوضه در بالادست سایت موردمطالعه ۱۴۶ کیلومترمربع است. از نظر سنگ‌شناسی، حوضه از سنگ‌های رسوبی تشکیل شده و از دوره پرمین تا کواترنر را شامل می‌شود. پارک جنگلی کشپل بر روی مخروط افکنه لاویج رود قرار دارد. درنتیجه تغییرات سطح اساس دریای خزر در دوره‌های گذشته و فرسایی جریان رود، سه سطح پادگانه‌ای در آن شکل‌گرفته است. بستر این رودخانه از رسوبات گراولی و قلوه‌سنگی تشکیل شده و به علت فرسایی رود، ارتفاع کرانه پنج تا ۱۵ متر نسبت به رود اصلی ارتفاع دارد. مقدار بارش سالانه حوضه در پارک جنگلی کشپل طبق داده‌های ایستگاه هواشناسی چمستان ۸۶۵ میلی‌متر است که به سمت بالادست حوضه (بخش جنوبی) به ۳۰۰ میلی‌متر هم تغییر می‌کند. بیش از ۷۵ درصد مساحت حوضه تحت پوشش جنگل‌های انبوه دامنه‌های شمالی البرز قرار دارد. میانگین دبی سالانه حوضه ۱/۷ مترمکعب در ثانیه است و حداقل دبی ثبت شده در طی دوره آماری (۱۳۹۰-۱۳۹۷) ۱۷۵ مترمکعب در ثانیه بوده است.

مواد و روش‌ها

برای بررسی مکانیسم‌های اصلی بی‌ثباتی کناره‌های رود و ارائه استراتژی‌های پیشنهادی جهت ایجاد ثبات در آن، معمولاً از مدل‌های پایداری کناره جریان استفاده می‌شود. یکی از مدل‌های پرکاربرد و پیشرفت‌ه در خصوص پایداری کناره رودخانه، مدل پایداری کناره و فرسایش پای کرانه (BSTEM) است که به‌وسیله آزمایشگاه ملی رسوب در آکسفورد-می‌سی‌بی در آمریکا^۱ توسعه یافته

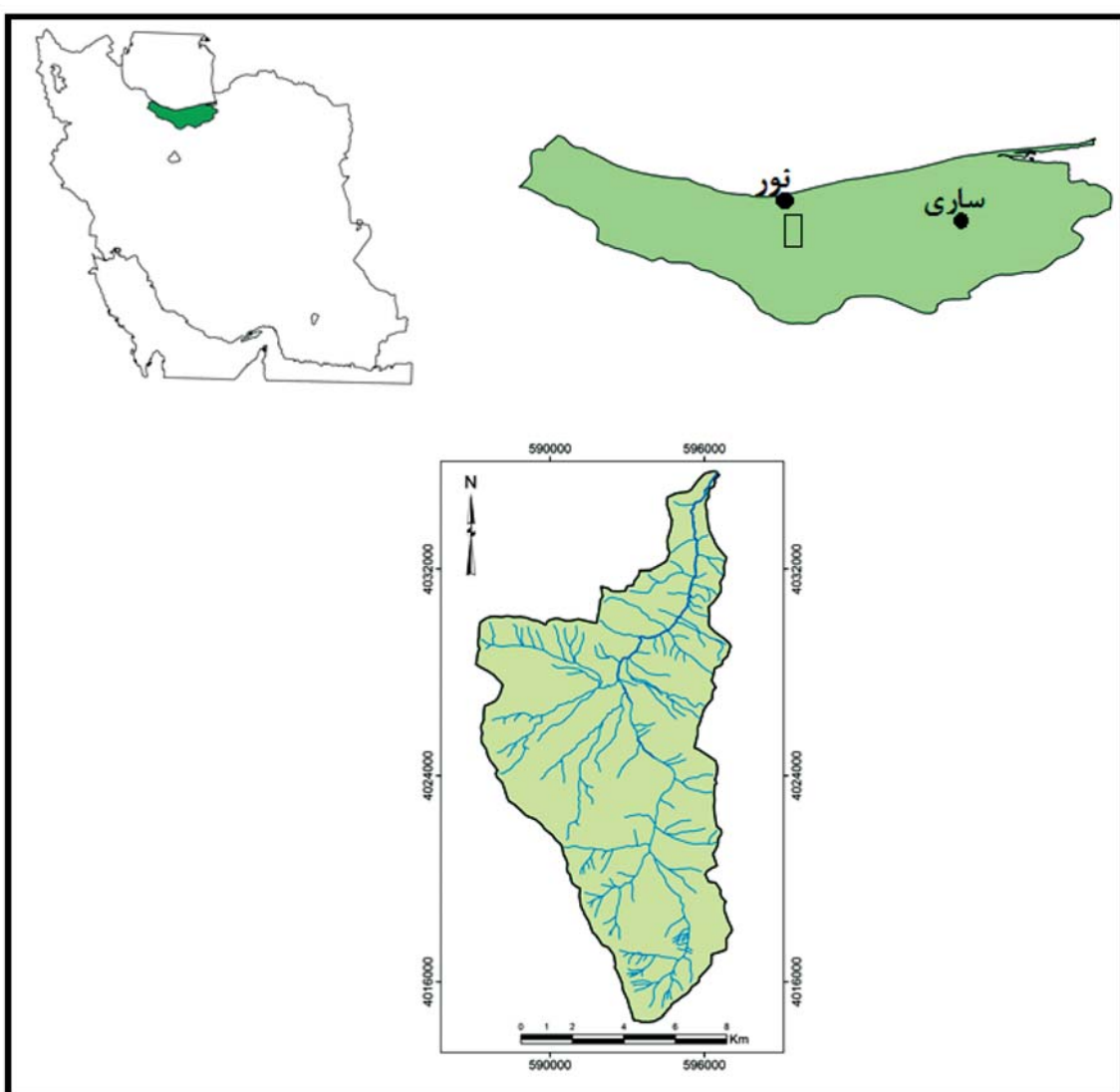
صورت گرفته است. تلوی (۱۳۷۹) نقش ویژگی‌های مواد دیواره‌ها در فرسایش کناره‌ای رودخانه کارون را مورد مطالعه قرار داده و عدم کفاایت مقاومت برشی ذرات ناپیوسته به خصوص در لایه‌های زیرین و همچنین املاح موجود در مواد یا ذرات پیوسته کناره‌ها، همراه با شرایط کلی جریان رودخانه در دشت رسوبی ریزدانه را، از عوامل مؤثر در فرسایش کناره‌ای بیان کرده است. رضائی مقدم و پیروزی نژاد (۱۳۹۳) نیز تغییرات مجرأ و فرسایش کناره‌ای در رودخانه گاماسیاب را مطالعه کرده‌اند. غفاری و همکاران (۱۳۸۵) تغییرات مورفولوژیکی کناره‌ای آبراهه را در رودخانه بابل، نوحه‌گر و یمانی (۱۳۸۲) وضعیت ژئومورفولوژیکی پیچان رود و نقش آن در فرسایش بستر و کناره‌های رودخانه میناب، نوحه‌گر و همکاران (۱۳۸۹) تغییرات ژئومورفولوژیک نیمرخ طولی و عرضی علیای رودخانه میناب (از سد تا پل میناب) و یمانی و همکاران (۱۳۸۵) هیدرودینامیک رودخانه‌های تالار و بابل و نقش آن در ناپایداری و تغییر مشخصات هندسی آنها را بررسی کرده‌اند.

اما مدل BSTEM در ابتدا توسط پولین و سیمون (Pollon and Simon, 2005) و پولین بنک هید و سیمون (Pollon-Bankhead and Simon, 2009) پایداری نسبی کرانه تحت شرایط پوشش گیاهی و آب منفذی مشخص شروع و با مطالعات سیمون و همکاران (Simon et al., 2008) برای بررسی الگوی شبکه کرانه پایدار و کانسین نه و همکاران (Cancienne et al., 2008) برای مطالعه زیربری و زاویه کرانه و فشار آب منفذی ادامه یافت. سیمون و کولیسن (Simon and Collison, 2002) و سیمون و همکاران (Simon et al., 2006) از این مدل جهت مطالعه تأثیرات مکانیکی و هیدرولوژیکی پوشش گیاهی حاشیه رود (ری‌پارین) استفاده کرده‌اند. سیمون و همکاران (Simon et al., 2010) برای بررسی پایداری کرانه در طی حوادث سیلابی و پتانسیل تغییرات کرانه بهره گرفته‌اند.

هدف این مقاله نشان دادن کارایی مدل BSTEM به عنوان یک ابزار مناسب برای تعیین و تشخیص شرایط حاکم بر کرانه رودخانه لاویج در راستای حفاظت از رود و ارزیابی اهمیت فرسایش رودخانه‌ای، شناخت میزان پس‌روی

1. Bank Stability and Toe Erosion Model

2. National Sedimentation Laboratory in Oxford, Mississippi, USA



شکل ۱. محدوده مورد مطالعه در استان مازندران

گسیختگی) در امتداد یک سطح شکست بالقوه است. نیروی مقاوم بهوسیله معادله مور-کلمب (رابطه ۱) تعریف می‌شود (Midgley et al., 2012).

$$sr = c' + (\sigma - \mu w) \tan(\phi') \quad (رابطه ۱)$$

که sr : مقاومت برشی خاک (کیلو پاسکال)، c' : چسبندگی مؤثر (کیلو پاسکال)، σ : تنش نرمال (کیلو پاسکال)، $w\mu$: فشار منفذی آب (کیلو پاسکال) و ϕ' : زاویه داخلی مؤثر اصطکاک بر حسب درجه است (Fredlund and Rahardjo, 1993). نیروی محرک نیز به صورت رابطه ۲ تعریف می‌شود.

است (Midgley et al., 2012). این مدل از زمان ایجاد

آن تاکنون توسط نویسندهای مختلف به طور پیوسته اصلاح و بهبود یافته است. در این مقاله از مدل نسخه ۱.۴.۵ استفاده شده است که از دو بخش متفاوت شامل پایداری

کرانه و فرسایش پای کرانه تشکیل می‌شود.

در این مدل، پایداری کرانه با محاسبه فاکتور ایمنی (FS^1) تعیین می‌شود. فاکتور ایمنی نیز در حالت‌های مختلف کرانه شامل لایه‌های افقی، لغزش‌های قائم و شکست برشی همراه با پیش‌آمدگی کرانه محاسبه می‌شود. در حالت کلی فاکتور ایمنی، گویای نسبت بین نیروی مقاومت برشی و نیروی تنش برشی (نیروی محرک

1. Factor of Safety

2004؛ Pollen, 2007). بهویژه درنتیجه حضور علفهای چندساله، مقاومت چسبندگی اضافی بر روی کرانه کanal ایجاد خواهد شد. حضور این پوشش، ویژگی‌های فرسایش رودخانه‌ای را تغییر داده و مقاومت مواد و لایه بالایی کرانه رود که توسط علفها پوشیده شده است را در برابر فرسایش افزایش می‌دهد.

مراحل انجام مدل BSTEM به صورت زیر بوده است:

- ورود داده‌های هندسی کرانه که شامل داده‌های نیمرخ کرانه، ضخامت لایه‌های خاک و پارامترهای کanal و جریان است. داده‌های موردنیاز این بخش از طریق برداشت‌های میدانی جمع‌آوری شد. به این منظور با استفاده از شاخص نقشه‌برداری و متر لیزرن مختصات نقاط مختلف کرانه، شامل ارتفاع از بستر و فاصله کرانه اندازه‌گیری شد. در ادامه تعداد لایه‌های تشکیل‌دهنده کرانه (حداکثر تا پنج لایه) مشخص و ضخامت هر یک مشخص گردید. همچنین داده‌های ارتفاعی و شبیه کرانه^۱، طول و شبیه پای کرانه^۲ نیز اندازه‌گیری شد. پارامترهای جریان شامل طول و شبیب بازه با استفاده از متر لیزرن اندازه‌گیری شد و میانگین عمق جریان در حالت دی لبالی و دی سیلاب بر طبق آثار برجای‌مانده در حاشیه رودخانه و طول مدت جریان نیز بر پایه مشاهدات ساکنان محلی به دست آمد.

- مواد تشکیل‌دهنده کرانه^۳: بخش دیگری از داده‌ها مربوط به ویژگی‌های خاک و مواد تشکیل‌دهنده لایه‌های کرانه و پای کرانه است. در بازه مورد مطالعه نوع خاک ازنظر بافت مشخص گردید و وارد مدل شد. این بخش همچنین حاوی محاسباتی برای برآورد تنش برشی بحرانی بر پایه قطر ذرات و یا ورود مقدار تنش برشی محاسبه شده در بازه است که برای بازه مورد مطالعه مقدار تنش برشی بر پایه اندازه‌گیری‌های به عمل آمده و از طریق رابطه ۵ محاسبه شد و همچنین مقادیر ضریب فرسایش‌پذیری برای خاک کرانه نیز از طریق رابطه ۶ برآورد شد

$$Sd = W \sin (\beta) \quad (رابطه ۲)$$

که Sd : نیروی برشی (کیلو پاسکال)، W : وزن بلوك خاک مربوط در واحد مساحت سطح شکست (کیلو نیوتون بر مترمربع) و β : زاویه سطح شکست برحسب درجه .(Simon et al., 2000)

مدل BSTEM قابلیت محاسبه این نیروها را بر اساس ویژگی‌های کرانه دارد و با توجه به ویژگی‌های خاک (با محاسبه و برآورد زاویه اصطکاک داخلی، چسبندگی مؤثر، واحد وزن خاک، فشار آب منفذی)، زاویه پایداری کرانه رودخانه، اندازه‌گیری و برآورد می‌شود. همچنین می‌توان زیربری کرانه رود را که بهوسیله فرسایش رودخانه‌ای ایجاد می‌شود، برآورد کرد (Simon et al., 2000). این مدل، فرسایش را بر اساس معادله تنش برشی مازاد ارائه شده بهوسیله پارزینیادس (Partheniades, 1965) پیش‌بینی می‌کند (رابطه ۳).

$$\epsilon = \kappa (\tau_0 - \tau_c)^a \quad (رابطه ۳)$$

که ϵ : نرخ فرسایش (متر بر ثانیه)، κ : ضریب فرسایش‌پذیری (مترمکعب بر نیوتون بر ثانیه)، τ_0 : میانگین تنش برشی (کیلو پاسکال)، τ_c : تنش برشی بحرانی خاک (کیلو پاسکال) و a : توانی است که معمولاً معادل یک در نظر گرفته می‌شود. ضریب فرسایش‌پذیری و تنش برشی بحرانی تابع ویژگی‌های متفاوت خاک هستند. برای خاک‌های غیرچسبنده، تنش برشی بحرانی بر پایه متوسط قطر ذرات خاک برآورد می‌شود (Garcia, 2008). میانگین تنش برشی نیز با استفاده از رابطه ۴ محاسبه می‌شود.

$$\tau_0 = \gamma_w R S \quad (رابطه ۴)$$

که γ_w : وزن واحد آب (۹/۸۱ کیلو نیوتون بر مترمکعب)، R : شعاع هیدرولیک (متر) و S : شبی کanal (متر بر متر) است.

مدل‌سازی عددی و بررسی‌های میدانی همچنین نشان می‌دهد که اضافه شدن ریشه‌ها به کرانه‌ها، پایداری را در شرایط هیدرولوژیکی متفاوت بهبود می‌بخشد (Abernathy and Rutherford, 2000؛ Wynn et al.,

1. Bank

2. Toe

3. Bank material

مورد بررسی قرار دهد. داده‌های مرتبط با پوشش گیاهی از طریق مطالعه میدانی مشخص شد.

بحث

در این مطالعه، بازه‌ای از رودخانه لاویج در محل پارک کشپل به منظور شناخت میزان پس‌روی کرانه و مقدار تولید رسوب ناشی از شکست کرانه و فرسایش کرانه کanal شبیه‌سازی گردید. این شبیه‌سازی برای دبی بالایی، میانگین دبی سیلاند رسوب رودخانه و حداکثر دبی قابل انتظار که نماینده جریان‌های بزرگ رودخانه لاویج است، انجام گرفته است. این بازه بر اساس وجود شرایط مناسب از نظر تنوع لایه‌های تشکیل‌دهنده کرانه، امتداد مستقیم کanal به طول بیش از ۱۰۰ متر، شیب یکنواخت بستر، وجود بخش پای کرانه، قابلیت اندازه‌گیری اندازه رسوب، آثار مرتبط با ارتفاع جریان در سیل اخیر و مقادیر دبی بالایی و در نهایت در دسترس بودن بازه انتخاب شده است. تنش برشی بحرانی دبی سیل انتخابی بیشتر از اندازه ذرات تشکیل‌دهنده رسوبات پای کرانه بوده است. در این شبیه‌سازی لازم است دبی هر بازه تبدیل به عمق جریان در بازه مورد مطالعه شود که برای هر سه دبی، این تبدیل صورت گرفته است.^۱

هندسه کanal: در اولین مرحله داده‌های مرتبط با رئومتری کرانه از طریق اندازه‌گیری میدانی تهیه و وارد مدل گردید. این داده‌ها شامل مختصات کرانه (جدول ۱)، ارتفاع و شیب کرانه، طول و زاویه پای کرانه (جدول ۲) و ضخامت لایه‌های تشکیل‌دهنده کرانه (جدول ۳) است. بر اساس مختصات وارد شده، نیمرخ کرانه ترسیم گردید (شکل ۲). در ادامه پارامترهای جریان و کanal استخراج و وارد مدل شدند (جدول ۴ و ۵).

. (Hanson and Simon, 2001)

$$\tau_c = \theta_c gd (\rho_s - \rho_w) \quad (رابطه ۵)$$

که τ_c : تنش برشی بحرانی (N/m^2), d : اندازه ذرات رسوبی بستر، این عدد تقریباً نشان‌دهنده قطر d_{50} رسوبات است. ρ_s : چگالی رسوب است که تقریباً ۲۶۵۰ کیلوگرم در مترمکعب در نظر گرفته می‌شود. θ_c : مقدار ثابت بی بعد شیلدز است که تابع شکل ذره، ویژگی‌های سیال و آرایش ذرات سطح است (اسماعیلی و همکاران، ۱۳۹۰).

$$K = 2 \times 10^{-7} \tau_c^{-1/2} \quad (رابطه ۶)$$

K : فرسایش‌پذیری برای خاک ($cm^3 (N\cdot s)^{-1}$)

- خروجی مدل کرانه: این بخش از مدل نشان‌دهنده فرایند شبیه‌سازی و فاکتور ایمنی (FS)، هندسه کرانه، زاویه و ارتفاع و قوع سطح شکست است. در این بخش لازم است عمق سطح آب نزدیک کرانه یا فشار آب منفذی در عمق‌های مختلف را وارد کرد. به منظور تعیین اهمیت ارتفاع سطح آب نزدیک کnarه از روش شبیه‌سازی پاسخ فوری^۲ استفاده شود. در این روش، سطح آب نزدیک کرانه به طور خودکار منطبق با ارتفاع مراحل جریان رودخانه (فاصله بالاترین نقطه کرانه تا سطح آب رودخانه) مدنظر قرار گرفت.

- بخش خروجی فرسایش پای کرانه^۳: به کاربر اجازه اجرای مدل سازی فرسایش پای کرانه را برای دوره‌های جریانی خاص می‌دهد. این بخش از نتایج مدل، شامل تنش برشی محاسبه شده، میزان پس‌روی کرانه، میزان رسوبات حمل شده از کرانه و پای کرانه، نیمرخ جدید کرانه و مقدار فرسایش است.

- بخش پوشش گیاهی و حفاظت‌های اعمال شده بر روی کرانه و پای کرانه^۴: در این بخش کاربر می‌تواند نوع و مشخصه‌های پوشش گیاهی موجود (درصد پوشش و تراکم ریشه‌ها) بر روی کرانه و پای کرانه را به کار گیرد. هم‌چنین حفاظت‌های مختلفی که امکان اعمال آن بر روی کرانه وجود دارد را مشخص و اثر آن را بر روی پایداری کرانه

1. Bank model output

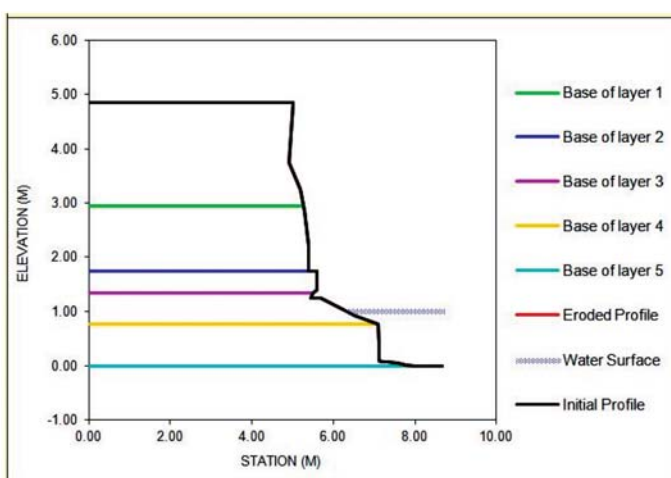
2. Instant response

3. Toe erosion output

4. Bank vegetation and protection

جدول ۱. مختصات کرانه، شامل ارتفاع و فاصله از مبدأ نقاط انتخابی بر روی کرانه، در بازه موردمطالعه

ردیف	ارتفاع به متر	فاصله از مبدأ به متر	ردیف	ارتفاع به متر	فاصله از مبدأ به متر
۱	۴/۸۵	۰	۱۳	۱۳	۰/۹۲
۲	۴/۸۵	۵	۱۴	۱۴	۰/۷۷
۳	۳/۷۵	۴/۹۰	۱۵	۱۵	۰/۴۰
۴	۳/۲۵	۵/۲۰	۱۶	۱۶	۰/۲۰
۵	۲/۸۵	۵/۲۹	۱۷	۱۷	۰/۱۰
۶	۲/۲۰	۵/۳۹	۱۸	۱۸	۰/۰۹
۷	۱/۷۵	۵/۳۹	۱۹	۱۹	۰/۰۸
۸	۱/۷۵	۵/۶۰	۲۰	۲۰	۰/۰۵
۹	۱/۴۰	۵/۶۰	۲۱	۲۱	۰/۰۳
۱۰	۱/۳۴	۵/۵۰	۲۲	۲۲	۰
۱۱	۱/۲۵	۵/۴۵	۲۳	۲۳	۰
۱۲	۱/۲۵	۵/۷۰			



شکل ۲. نیمروز کرانه بر اساس مختصات وارد شده شامل مختصات، ارتفاع و شبیه سازی کرانه، طول و زاویه پای کرانه و ضخامت لایه های تشکیل دهنده آن

جدول ۲. ارتفاع و شبیه سازی کرانه، طول و زاویه پای کرانه در بازه موردمطالعه

پارامتر	ارتفاع کرانه (متر)	شبیه سازی کرانه (زاویه)	طول پای کرانه (متر)	شبیه سازی پای کرانه (زاویه)
مقدار	۴/۹	۷۷/۲	۲/۸	۲۱

جدول ۳. ضخامت لایه های تشکیل دهنده کرانه در بازه موردمطالعه

ترتیب لایه از بالا	ضخامت لایه (متر)	لایه ۱	لایه ۲	لایه ۳	لایه ۴	لایه ۵
	۱/۹۰	۱/۲۰	۰/۴۱	۰/۵۷	۰/۷۷	۰/۷۷

جدول ۴. پارامترهای جریان و کanal جهت شبیه سازی در بازه موردمطالعه

پارامتر	طول بازه (متر)	شیب بازه (متر بر متر)	دبی لبالی (متر)	متوسط دبی سیالاب رودخانه	حداکثر دبی قابل انتظار	جذب جریان (ساعت)	عمق (متر)	طول مدت جریان (ساعت)	عمق (متر)	طول مدت جریان (ساعت)	جذب جریان (ساعت)
مقدار	۱۰۰	۰/۰۳	۱	۲۴	۱/۲۵	۲۴	۱/۵	۲۴	۰/۷۷	۰/۵۷	۰/۷۷

مواد تشکیل‌دهنده کرانه

تشکیل‌دهنده کرانه، مشخصه‌های پیش‌فرض مدل شامل زاویه اصطکاک، چسبندگی، وزن بلوک خاک مرتبط و زاویه شکست تعیین‌گردد. در این بخش تنش برشی بحرانی برای حرکت یک ذره مورد نیاز است. با استفاده از رابطه ۵ تنش برشی مورد نیاز برای حرکت ذرات تشکیل‌دهنده بازه d_{50} محاسبه شد.

کرانه رودخانه در بازه موردمطالعه از پنج لایه متفاوت تشکیل‌شده که به صورت افقی لایه‌بندی شده است. این مواد به ترتیب از بالا به پایین شامل گراول، قلوه‌سنگ، گراول، سیلت فرسایش پذیر و سیلت مقاوم بوده است. همچنین مواد تشکیل‌دهنده پای کرانه نیز از ماسه زاویه‌دار درشت همراه با گراول تشکیل‌شده است (جدول ۶). بر اساس مواد

جدول ۵. مواد تشکیل‌دهنده کرانه در بازه موردمطالعه

ترتیب لایه از بالا ضخامت لایه (متر)	گراول قلوه‌سنگ	گراول	سیلت مقاوم ماسه زاویه‌دار درشت همراه با گراول	لایه ۱ لایه ۲ لایه ۳ لایه ۴ لایه ۵	پای کرانه
--	-------------------	-------	--	--	-----------

است) و تغییر در هندسه منطقه پای کرانه تعیین شود. در اولین سناریو، برای انجام این شبیه‌سازی مقادیر انواع دبی‌ها به صورت مستقل و بدون تأثیر بر یکدیگر وارد مدل شد. در ضمن پوشش گیاهی نیز دخالت داده نشد و کرانه بدون حفاظت لحاظ گردید. میزان فرسایش ناشی از جریان‌های مختلف سیل در یک دوره ۲۴ ساعته در جدول ۶ نشان داده شده است. در شکل ۳ نیز نتایج این شبیه‌سازی در دبی‌های مختلف نشان داده شده است.

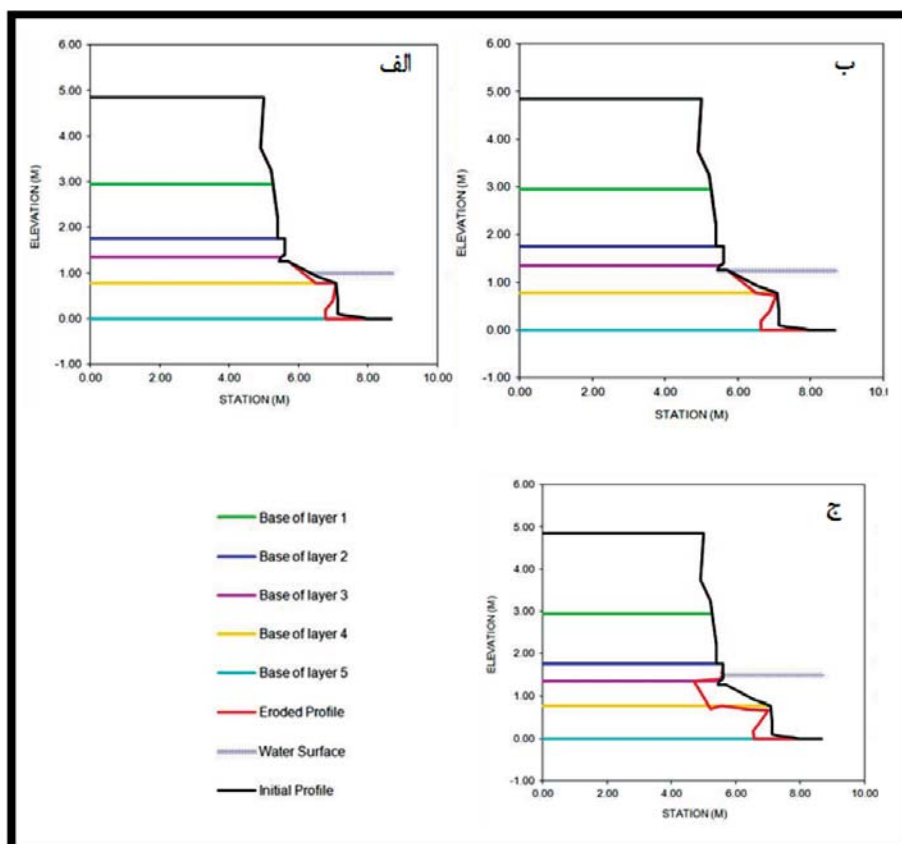
با توجه به اینکه d_{50} ذرات بازه ۳۰ میلی‌متر است، پس مقدار تنش برشی بحرانی بازه معادل $29/16$ نیوتن بر مترمربع یا پاسکال تخمین زده شده است. بر پایه تنش برشی بحرانی محاسبه شده ضریب فرسایش پذیری ($cm^3/N\cdot s$) به دست آمد. شبیه‌سازی فرسایش پای کرانه: در این مرحله سناریوهای مختلف تأثیرات دبی‌های مختلف جریان سیل (دبی لبالی، متوسط دبی سیلاپ و حداقل دبی قابل انتظار) شبیه‌سازی می‌شود تا مقدار فرسایش هیدرولیک (اگر صورت گرفته

جدول ۶. میزان فرسایش ناشی از دبی‌های مختلف جریان در دوره ۲۴ ساعته برای بازه موردمطالعه

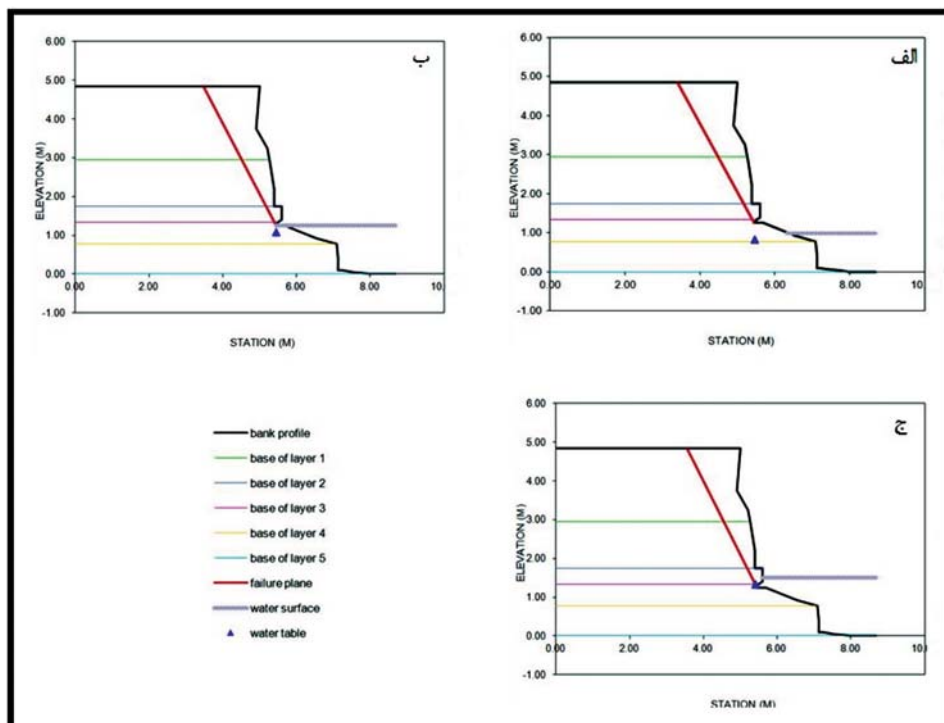
پارامتر مرزی (پاسکال)	متوسط تنش برشی (سانسی‌متر)	حداکثر پرس روی عرضی	مساحت فرسایش یافته	مساحت فرسایش یافته کل مساحت فرسایش	پارامتر کرانه (مترمربع) یافته (مترمربع)	پارامتر کرانه (مترمربع)	پارامتر یافته
دبی لبالی	۱۸۸/۲۹	.	۰/۲۴۳	۰/۰۶۱	۰/۳۰۴	۰/۰۶۱	۰/۳۰۴
متوسط دبی سیلاپ	۲۱۶/۳۲	.	۰/۳۲۶	۰/۰۶۸	۰/۳۹۴	۰/۰۶۸	۰/۳۹۴
حداکثر دبی قابل انتظار	۲۴۴/۷۵	۸۱/۲۵	۱/۱۲	۰/۰۷۲	۱/۱۹	۰/۰۷۲	۰/۰۷۲

بررسی قرار می‌گیرد. در این مرحله در ابتدا تأثیرات اولین جریان (دبی لبالی) شبیه‌سازی می‌شود تا مقدار فرسایش هیدرولیک و تغییر در هندسه منطقه پای کرانه تعیین گردد. هندسه جدید کanal به بخش مدل پایداری کرانه منتقل شده تا میزان پایداری نسبی کرانه مشخص شود. اگر ضریب اینمی (FS) بزرگ‌تر از یک باشد، هندسه کanal به روز نخواهد شد و واقعه جریانی جدیدی شبیه‌سازی می‌شود. اگر ضریب اینمی (FS) کمتر از یک باشد، شکست کرانه شبیه‌سازی و به روز می‌شود و نتایج سطح شکست هندسه جدید کرانه برای

هندسه جدید کanal به بخش پایداری کرانه منتقل شد تا میزان پایداری نسبی کرانه و نتایج اعمال شده بر کرانه استخراج شود (شکل ۴). جدول ۷ نشان‌دهنده میزان پارامترهای ناپایداری ناشی از دبی‌های مختلف جریان سیل در دوره ۲۴ ساعته بر روی کرانه مورد مطالعه است. در مرحله قبل شبیه‌سازی فرسایش کناره‌ای برای هریک از دبی‌های مورد مطالعه به صورت مستقل صورت گرفت؛ اما در ادامه یعنی سناریو دوم، توالی دبی‌های مختلف سیل شبیه‌سازی شده و تأثیر آن بر مورفومتری کرانه کanal مورد



شکل ۳. نتایج شبیه‌سازی فرسایش کرانه در ترازهای مختلف، (الف) دبی لبالی، (ب) متوسط دبی سیلابی، (ج) حداقل دبی منتظره



شکل ۴. میزان پایداری نسبی کرانه، (الف) دبی لبالی، (ب) متوسط دبی سیلاب، (ج) حداقل دبی منتظره

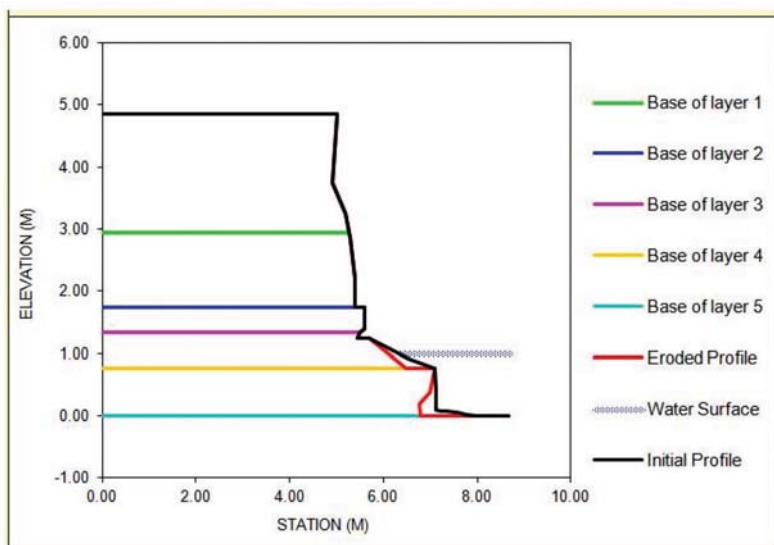
جدول ۷. پارامترهای ناپایداری ناشی از دبی‌های مختلف جریان در دوره ۲۴ ساعته بر روی کرانه

پارامتر	ضریب ایمنی (FS)	تنش (متر)	ارتفاع ظهور تنش (درجه)	زاویه سطح تنش (درجه)	عرض شکست (متر)	حجم شکست (مترمکعب)	تولیدی (تن)	بار رسوب زیرزمینی (متر)	عمق سطح آب
دبی لبالی	۰/۹۷	۱/۳	۶۰/۳	۶۰/۳	۱/۶۰	۲۸۳	۵۳۰/۲۴	۴	۵۳۰/۲۴
متوسط دبی سیلاب	۰/۹۱	۱/۳	۶۱/۳	۶۱/۳	۱/۵۲	۲۶۸	۵۰۸/۰۶	۳/۷۵	۵۰۸/۰۶
حداکثر دبی قابل انتظار	۰/۸۵	۱/۳	۶۲/۱	۶۲/۱	۱/۴۵	۲۵۶	۴۸۸/۲۷	۳/۵	۴۸۸/۲۷

و تعداد ریشه با ضخامت‌های مختلف اعمال گردید تا اثر آن بر روی فرسایش و ناپایداری مشخص شده و در ادامه روند شبیه‌سازی مدنظر قرار گیرد. از نظر پوشش گیاهی تقریباً ۴۵ درصد تحت پوشش گیاهان علفی منطقه مرتبط (۱ ساله)، ۱۵ درصد تحت اشغال بوتهای تمشک و حشی (۲ ساله)، ۱۰ درصد نیز توسط درختان توسکا (بیش از ۱۰ سال) پوشیده شده و ۳۰ درصد سطح نیز خاک‌های بر همه و فاقد پوشش گیاهی بوده است. همچنان کرانه و پای آن بدون حفاظت در نظر گرفته شده است.

شبیه‌سازی فرسایش پای کرانه برای رویداد جریانی جدید (متوسط دبی سیلاب و حداکثر دبی قابل انتظار) استفاده خواهد شد.

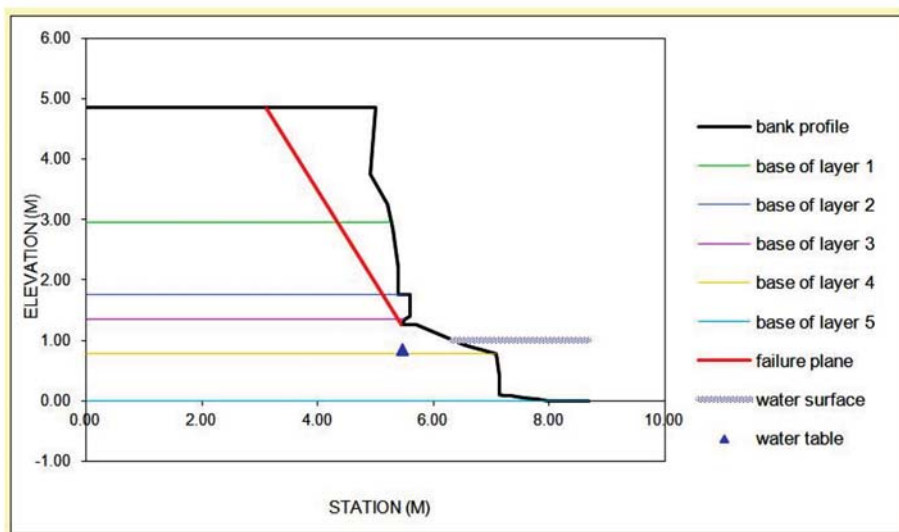
در بازه موردمطالعه، در ابتدا تأثیرات دبی لبالی در مدل اعمال گردید (شکل ۵). نتایج حاصل از شبیه‌سازی در بخش پای کرانه و کرانه و میزان ناپایداری آن در جدول ۶ و ۷ نشان داده شده است. به منظور تعیین نقش پوشش گیاهی روی کرانه، در بخش پوشش گیاهی و حفاظت اعمال شده بر روی کرانه و پای کرانه، نوع پوشش و ویژگی‌های آن از نظر تراکم



شکل ۵. شبیه‌سازی کرانه در دبی لبالی در سناریوی دوم

و ۹. در ادامه چون ضریب ایمنی (FS) همچنان بزرگ‌تر از ۱ یعنی $1/67$ بود (شکل ۷ ب)، هندسه کanal به روز نشده و واقعه جریانی جدید (حداکثر دبی قابل انتظار) شبیه‌سازی شد. (شکل ۸ الف) و میزان پایداری نسبی (شکل ۸ ب) و نتایج آن در جدول‌های ۸ و ۹ آمده است.

با اجرای مدل با شرایط جدید وضعیت فرسایش و ناپایداری کرانه به شرح جدول‌های ۸ و ۹ است. در ادامه چون ضریب ایمنی (FS) بزرگ‌تر از ۱ یعنی $1/67$ بود (شکل ۶)، هندسه کanal به روز نشده و واقعه جریانی جدید (متوسط دبی سیلاب) شبیه‌سازی شد (شکل ۷ الف) و جدول‌های ۸



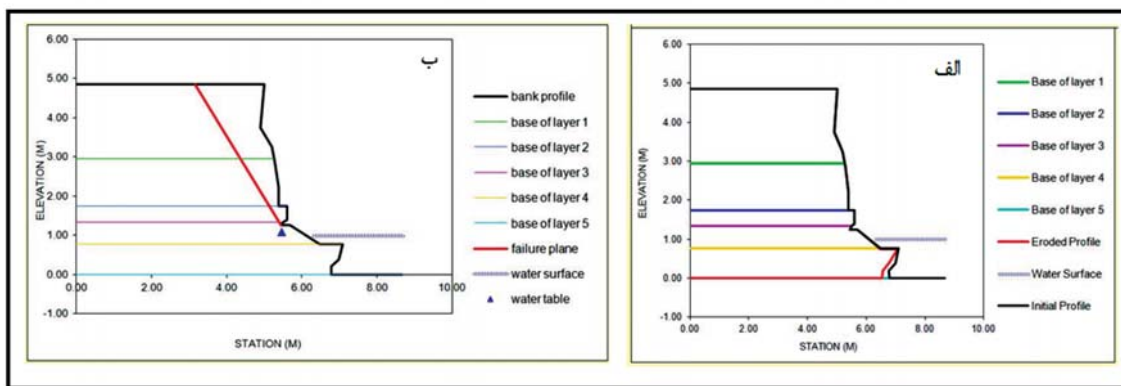
شکل ۶. میزان پایداری نسبی کرانه در دبی لبالی در سناریوی دوم

جدول ۸. میزان فرسایش ناشی از دبی‌های مختلف در دوره ۲۴ ساعته با اعمال پوشش گیاهی موجود برای باره مورد مطالعه

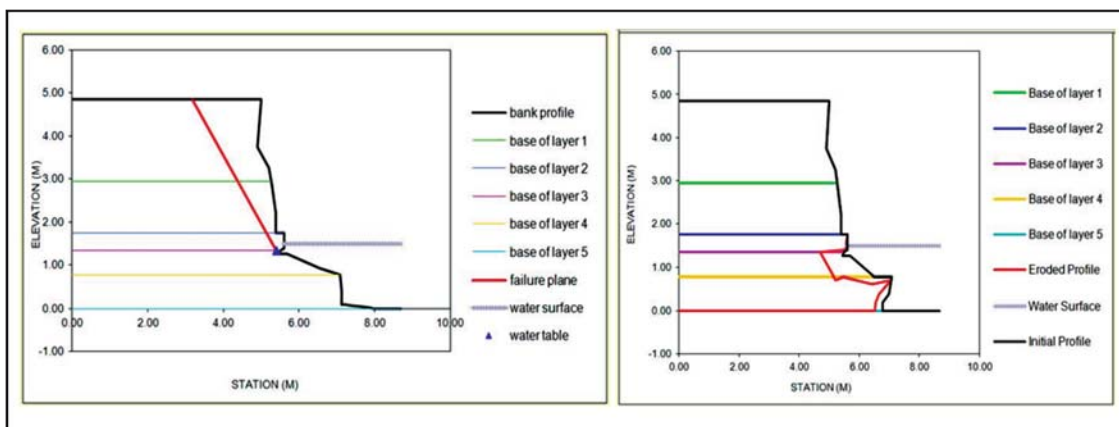
پارامتر	متوسط تنش برشی حداکثر پیروی عرضی مساحت فرسایش یافته کل مساحت فرسایش	مرزی (پاسکال)	کرانه (مترمربع)	پای کرانه (مترمربع)	یافته (مترمربع)
دبی لبالی	۱۸۸/۲۹	۰/۳۰۴	۰/۰۶۱	۰/۲۴۳	.
متوسط دبی سیلان	۱۸۵/۵۹	۰/۱۶۵	.	۰/۱۶۵	.
حداکثر دبی قابل انتظار	۲۴۴/۷۵	۱/۹۰	۰/۰۷۲	۱/۱۲	۸۱/۲۵

جدول ۹. پارامترهای ناپایداری ناشی از دبی‌های مختلف در دوره ۲۴ ساعته با اعمال پوشش گیاهی موجود بر روی کرانه

پارامتر	ضریب ایمنی (FS)	ارتفاع ظهور تنش (مترا)	تنش (مترا)	زاویه سطح تنش (درجه)	عرض شکست (متر)	حجم شکست (مترمکعب)	تولیدی (تن)	بار رسوب (تن)	عمق سطح آب (متر)	زیرزمینی (متر)
دبی لبالی	۱/۲۶	۱/۳	۵۶/۹	۱/۹	۳۳۶	۶۳۰/۱	۶۳۰/۱	۶۳۰/۱	۴	۰
متوسط دبی سیلان	۱/۲۰	۱/۳	۵۷/۵	۱/۸۵	۳۲۶	۶۱۶/۸۳	۶۱۶/۸۳	۶۱۶/۸۳	۳/۷۵	۰
حداکثر دبی قابل انتظار	۱/۱۵	۱/۳	۵۸	۱/۸۰	۳۱۸	۶۰۶/۶۱	۶۰۶/۶۱	۶۰۶/۶۱	۳/۵	۰



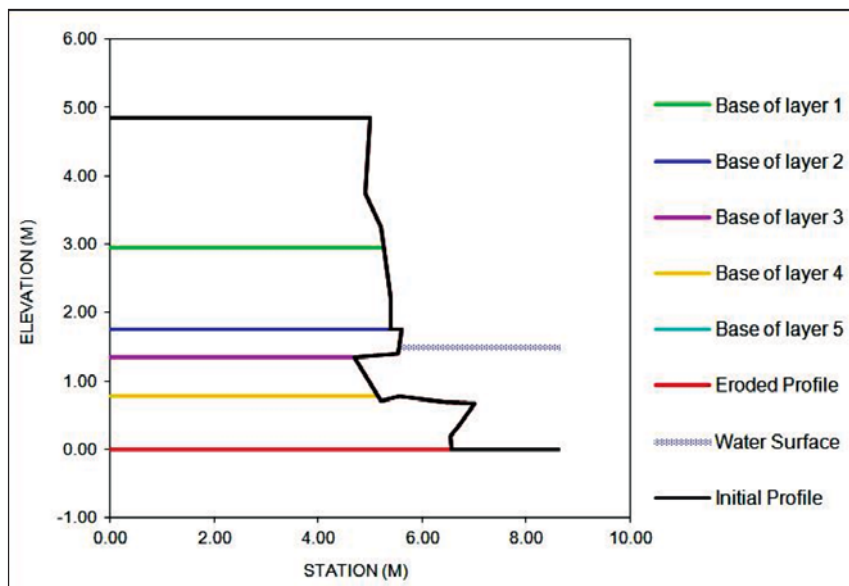
شکل ۷. الف) شبیه‌سازی کرانه در متوسط دبی سیلان، ب) میزان پایداری نسبی کرانه در متوسط دبی سیلان در سناریوی دوم



شکل ۸. الف) شبیه‌سازی کرانه در حداکثر دبی قابل انتظار، ب) میزان پایداری نسبی کرانه در حداکثر دبی قابل انتظار در سناریوی دوم

واریزهای چوبی بزرگ و برای پای کرانه ریپ رپ (با ذرات ۳۰ سانتی‌متری) لحاظ گردید و مدل اجرا شد. جدول ۱۰ نشان‌دهنده میزان فرسایش ناشی از دبی‌های مختلف جریان سیل در دوره ۲۴ ساعته برای بازه مورد مطالعه در سناریوی سوم است. بر اساس مدل‌سازی فوق در دبی‌های مختلف، هندسه جدید کرانه به صورت شکل ۱۰ خواهد بود.

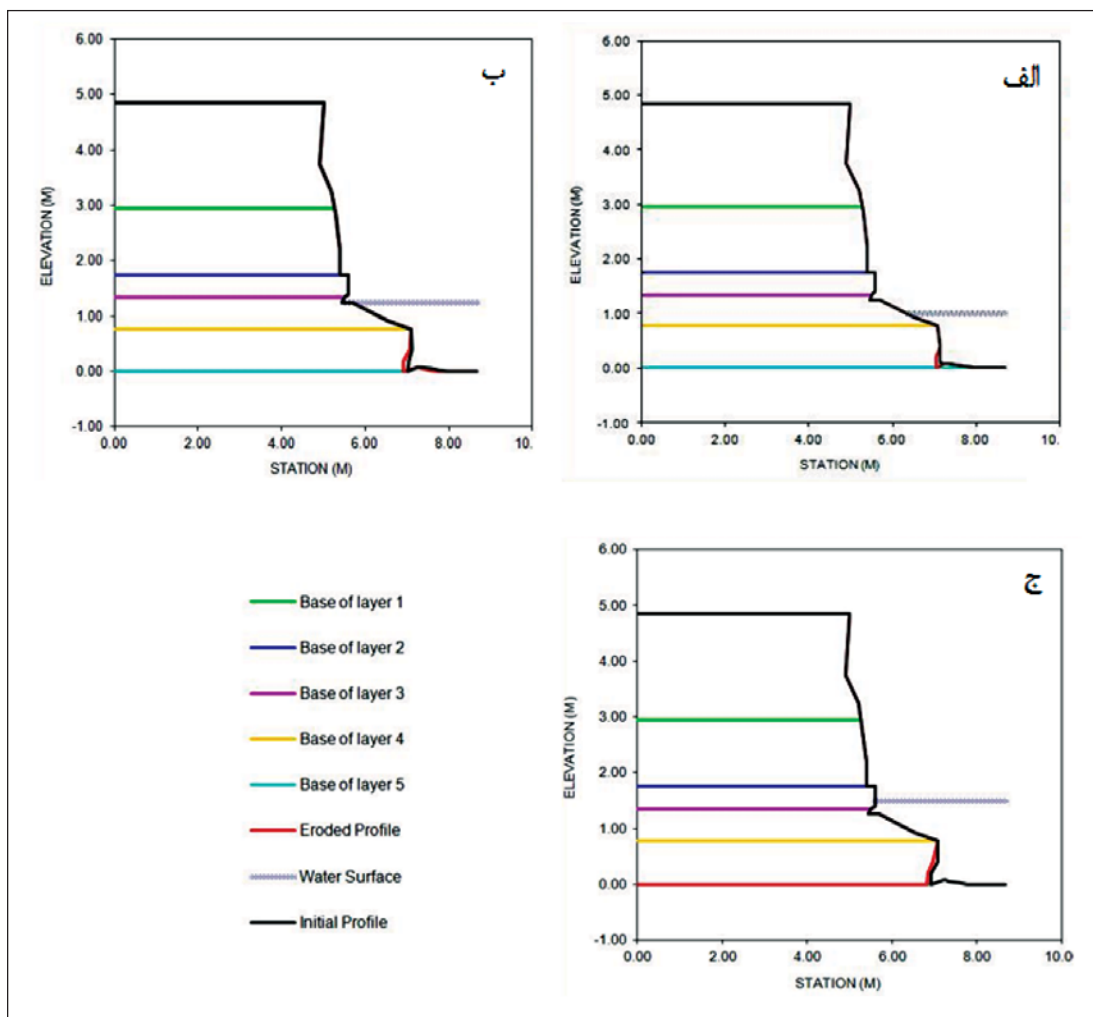
در صورت اعمال تأثیرات دبی‌های متوالی بر روی کرانه، هندسه جدید کرانه به صورت شکل ۹ خواهد بود. در سناریوی آخر فرض شد اگر با وضع موجود پوشش گیاهی کرانه و دبی‌های مورد استفاده در سناریوی اول و دوم، حفاظت‌هایی بر روی کناره اعمال شود، چه تغییری بر روی نتایج ناپایداری کرانه و فرسایش‌های صورت گرفته رخ می‌دهد. به این منظور برای کرانه حفاظت از نوع



شکل ۹: شبیه‌سازی کرانه در دبی‌های متوالی بر روی کرانه در سناریو دوم

جدول ۱۰. میزان فرسایش ناشی از دبی‌های مختلف جریان در دوره ۲۴ ساعته برای بازه مورد مطالعه در سناریوی سوم

پارامتر	دبي لبالی
متوسط تنش برشی	۱۸۸/۲۹
حداکثر پس روی	۲۰۴/۰۵
مرزی (پاسکال)	۲۲۱/۱۳
کل مساحت فرسایش یافته	۰/۰۲۴
مساحت فرسایش یافته	۰/۰۰۶
پای کرانه (مترا مربع)	۰/۰۴۹
یافته کرانه (مترا مربع)	۰/۰۱
عرضی (سانتی متر)	۰/۰۵۴
مساحت فرسایش	۰/۰۰۶
پای کرانه (مترا مربع)	۰/۰۵۹
دبي لبالی	۰/۰۳
متوسط دبی سیلان	۰/۰۵۹
حداکثر دبی قابل انتظار	۰

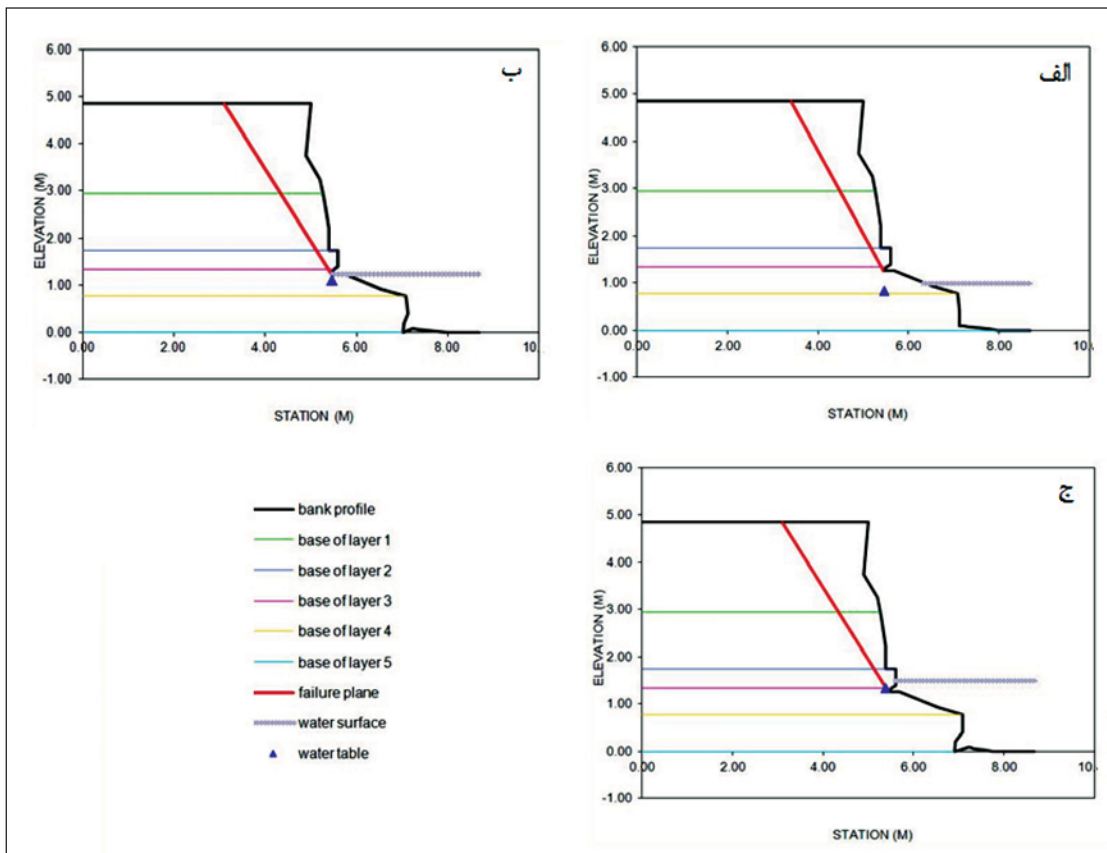


شکل ۱۰. شبیه‌سازی کرانه در سناریوی سوم (الف) در دبی لبالی، (ب) متوسط دبی سیلان، (ج) حداکثر دبی قابل انتظار

همچنین نیمیرخ حاصل از شبیه‌سازی در سناریوی سوم وضعیت ناپایداری کرانه و باررسوب ایجادشده در از نظر پایداری نیز در شکل ۱۱ نشان داده شده است. دبی‌های مختلف در سناریوی سوم در جدول ۱۱ آمده است

جدول ۱۱. پارامترهای ناپایداری ناشی از دبی‌های مختلف جریان در دوره ۲۴ ساعته با اعمال پوشش گیاهی موجود و حفاظت‌های ایجاد شده بر روی کرانه

پارامتر	ضریب ایمنی (FS)	ارتفاع ظهور تنش (متر)	زاویه سطح تنش (درجه)	عرض شکست (متر)	حجم شکست (مترمکعب)	بار رسوب تولیدی (تن)	عمق سطح آب زیرزمینی (متر)
دبی لبالی	۱/۲۶	۱/۳	۵۶/۹	۱/۹	۳۳۶	۶۳۰/۱	۴
متوسط دبی سیلاب	۱/۲۰	۱/۳	۵۶/۹	۱/۹	۳۳۶	۶۳۵/۳۸	۳/۷۵
حداکثر دبی قابل انتظار	۱/۱۵	۱/۳	۵۶/۹	۱/۹	۳۳۶	۶۴۰/۶۶	۳/۵



شکل ۱۱. میزان پایداری نسبی کرانه در سناریوی سوم (الف) دبی لبالی، (ب) متوسط دبی سیلاب، (ج) حداکثر دبی قابل انتظار

سیل با پوشش گیاهی موجود کرانه رودخانه و توالی سیلاب با پوشش گیاهی موجود و حفاظت‌های ممکن بر روی کرانه انجام گرفت. پسروی محاسبه شده کناره در سناریوهای مختلف در بازه مورد مطالعه در رودخانه لاویچ متغیر بوده است. در سناریوی اول فقط در دبی‌های حداکثر می‌توان انتظار

نتیجه‌گیری
به منظور شناخت میزان پسروی کرانه و مقدار تولید رسوب ناشی از شکست کرانه و فرسایش کرانه کانال، شبیه‌سازی فرسایش کناره‌ای در رویدادهای سیل مختلف بر اساس عمق و دوره جریان در وضعیت‌های متفاوت شامل سیل‌های مستقل بدون دخالت پوشش گیاهی، توالی جریان

در رودخانه‌ها جلوگیری کرد، زیرا بخش عمدۀ رسوب تولیدی در رودخانه‌ها درنتیجه فرسایش کناره‌ای است. فرسایش کرانه رود بهواسطه شکست توده‌ای، نشان‌دهنده یکی از اشکال مهم تنظیم کanal و یک منبع قابل توجه از رسوبات در جریان‌های آشفته بوده و تولید ۶۰-۸۰ درصد بار رسوب معلق را به خود اختصاص می‌دهد (Simon and Rinaldi, 2006).

نتیجه دیگر حاصل از این شبیه‌سازی گویای آن است که کرانه بازه مورد مطالعه به دلیل دارا بودن چندلایه شامل لایه‌های سیلت مقاوم و ریزدانه که توسط لایه‌های گراول و قله سنگ تحکیم نیافته پوشیده شده است فقط در جریان‌های سیلابی بزرگ فرسایش یافته و پس‌روی، زیربری دامنه و ناپایداری رخ می‌دهد و در جریان‌های معمولی که پایین‌تر از دبی لبالی است نمی‌توان انتظار فرسایش کناره‌ای و پس‌روی کرانه را داشت. حتی دبی لبالی که به طور متوسط با دوره بازگشت دو ساله نیز رخ می‌دهد تأثیر چندانی بر فرسایش و تغییر هندسه کanal نداشته و به طور مختصر رسوبات پای کرانه را فرسایش می‌دهد. درواقع دبی‌های شکل‌دهنده که بالاتر از دبی لبالی است و در رودخانه لاویج با دوره بازگشت بیش از ۱۰ سال رخ می‌دهد، نقش مهمی در فرسایش رودخانه‌ای و فرایندهای پسروی عرضی کanal بر عهده دارند.

مشاهدات انجام گرفته در بازه مورد مطالعه بعد از سیل ۱۳۹۴/۴/۲۹ نشان داد که بیشتر شکست‌های رخداده در زمان سیل بهواسطه زیربری پای کرانه در سیلت‌های مقاوم و ریزدانه بوده که منجر به سقوط گراول‌های لایه‌های بالایی متشکل از گراول‌های تحکیم نیافته شده است. این نتایج گویای پیوند قطعی و حساس بین زیربری رودخانه و ثبات زئوتکنیکی لایه‌های فوقانی در این رودخانه آبرفتی است.

منابع

- اسماعیلی، ر.، حسین‌زاده، م.م. و متولی، ص.، ۱۳۹۰. تکنیک‌های میدانی در ژئومورفولوژی رودخانه‌ای، انتشارات لاهوت، ۲۲۸ ص.
- تلوری، ع.، ۱۳۷۹. نقش ویژگی‌های مواد دیواره‌ها در فرسایش کناره‌ای رودخانه کارون، پژوهش و سازندگی،

1. Formative

فرسایش را داشت و میزان آن در حدود ۸۱/۲۵ سانتی‌متر و کل مساحت فرسایش یافته نیز ۱/۱۹ مترمربع بوده است. در سناریوی دوم نتایج مدل‌سازی و وضعیت فرسایش مشابه سناریوی اول بوده است اما در سناریوی سوم هیچ‌گونه پس‌روی و فرسایشی مشاهده نشد. این برآورد گویای نقش پوشش گیاهی و حفاظت از کرانه در تحکیم کرانه و جلوگیری از پس‌روی کرانه رود است.

از نظر پایداری کرانه و ضریب ایمنی (FS) نیز در سناریوی اول در هر سه وضعیت جریان رودخانه، دامنه ناپایدار است و ضریب ایمنی کمتر از ۱ محاسبه شده و با افزایش عمق جریان و کاهش سطح آب زیرزمینی در کرانه، ناپایداری کرانه بیشتر شده است. در سناریوی دوم به دلیل دخالت حضور پوشش گیاهی، ضریب ایمنی افزایش یافته و در حدود ۱/۱۵ تا ۱/۲۶ محاسبه شده که نشان‌دهنده وجود شرایط نسبتاً پایدار در کرانه بوده است. لازم به ذکر است که با وجود افزایش پایداری کرانه، به دلیل افزایش عرض شکست احتمالی، در صورت شکست کرانه میزان بار رسوب تولیدی بیشتر از سناریوی اول خواهد بود. در سناریوی سوم شرایط پایداری کرانه تقریباً مشابه سناریوی دوم بوده و کرانه رودخانه در بازه مورد مطالعه در شرایط نسبتاً پایدار قرار داشته است.

بنابراین در سناریوی اول ناپایداری کرانه و پس‌روی کرانه رخ داده درحالی که در سناریوی دوم شکستی رخ نداده اما فرسایش رسوب از کرانه مشاهده شده و میزان پسروی کرانه نیز به ۸۱/۲۵ سانتی‌متر رسیده است. در سناریوی سوم با اعمال حفاظت صورت گرفته به صورت واریزه‌های چوبی بر روی کرانه و ریپ رپ بر روی پای کرانه، میزان احتمال شکست کرانه کاهش یافته و میزان فرسایش کناره و پس‌روی آن به صفر رسیده است.

درواقع حضور پوشش گیاهی با افزایش مقاومت چسبندگی اضافی، میزان ناپایداری و جابجایی رسوب را در سناریوی دوم و سوم کاهش داده است. این نتیجه گویای نقش قاطع و مؤثر پوشش گیاهی در حفظ هندسه کanal، الگوی رود و تولید رسوب است و با تقویت و حفظ پوشش گیاهی می‌توان از فرسایش کناره‌ای و تولید رسوب

- the stability of root-reinforced streambanks, *Earth Surf. Processes Landforms*, 33(8), 1769-1786.
- Darby, S.E. and Thorne, C.R., 1996. Development and testing of river-bank stability analysis, *Journal of Hydraulic Engineering*, 122(8), 443-454.
 - Dapporto, S., Rinaldi, M., Casagli, N. and Vannocci, P., 2003. Mechanisms of river bank failure along the Arno River, Central Italy, *Earth Surface Processes and Landforms*, 28, 1303-1323.
 - Evans, D. J., Gibson, C. E. and Rossell, R. S., 2006. Sediment loads and sources in heavily-modified Irish catchments: A move towards informed management strategies, *Geomorphology*, 79, 93-113.
 - Fredlund, D. G. and Rahardjo, H., 1993. *Soil Mechanics of Unsaturated Soils*, John Wiley and Sons, Inc., New York, NY, 536.
 - Garcia, M., 2008. Sediment transport and morphodynamics. In: Garcia, M. (ed.), *Sedimentation Engineering: Processes, Measurements, Modeling and Practice*. ASCE Manuals and Reports on Engineering Practice No. 110. American Society of Civil Engineers, Reston, VA, 21-164.
 - Hanson, G. and Simon, A., 2001. Erodibility of cohesive sediment in the loess area of the Midwestern USA. *Hydrological Processes*, 15, 23-28.
 - Lavendel, B., 2002. The business of ecological restoration, *Ecological Restoration*, 20, 173-178.
 - Little, W.C., Thorne, C.R. and Murphrey, J.B., 1982. Mass bank failure analysis of selected Yazoo Basin streams, *American Society of Agricultural Engineers Transactions*, 25(5), 1321-1328.
 - Lohnes, R.A. and Handy, R.L., 1968. . ۵۲-۵۷، (۲)۱۳
 - حسین‌زاده، م.م. و اسماعیلی، ر.، ۱۳۹۴. زئومورفولوژی رودخانه‌ای. مفاهیم، اشکال و فرآیندها، انتشارات دانشگاه شهید بهشتی، ۳۳۸ ص.
 - غفاری، گ.، سلیمانی، ک. و مساعدی، ا.، ۱۳۸۵. بررسی تغییرات مرفلوژی کناری آبراهه با استفاده از سیستم اطلاعات جغرافیایی (بابلرود مازندران)، پژوهش‌های جغرافیایی، ۳۸، (۵۷)، ۶۱-۷۱.
 - رضابی مقدم، م.ح. و پیروزی نژاد، ن.، ۱۳۹۳. بررسی تغییرات مجرأ و فرسایش کناره‌ای در رودخانه گاماسب از سال ۱۳۲۴ تا ۱۳۸۹، *جغرافیا و برنامه‌ریزی*، ۱۸، (۴۷)، ۱۳۲-۱۰۹.
 - نوحه‌گر، ا.، حسین‌زاده، م.م. و افشار، ط.، ۱۳۸۹. تغییرات زئومورفولوژیک نیمرخ طولی و عرضی علیای رودخانه میناب (از سد تا پل میناب)، *محله جغرافیا*، ۸، (۲۴)، ۱۳۷-۱۵۸.
 - نوحه‌گر، ا. و یمانی، م.، ۱۳۸۴. بررسی وضعیت زئومورفولوژیکی پیچان‌رود و نقش آن در فرسایش بستر و کناره‌های رودخانه میناب (پایین‌دست سد میناب)، ۳۷، (۵۱)، ۶۵-۸۴.
 - یمانی، م.، حسین‌زاده، م.م. و نوحه‌گر، ا.، ۱۳۸۵. هیدرودینامیک رودخانه‌های تالار و بابل و نقش آن در ناپایداری و تغییر مشخصات هندسی آنها، ۳۸، (۵۵)، ۱۵-۳۳.
 - Abernathy, B. and Rutherford, I. D., 2000. The effect of riparian tree roots on the mass-stability of riverbanks, *Earth Surface Processes and Landforms*, 25, 921-937.
 - Bernhardt, E. S., Palmer, M. A., Allan, J. D., Alexander, G., Barnas, K., Brooks, S., Carr, J., Clayton, S., Dahm, C., Follstad-Shah, J., Galat, D., Gloss, S., Oodwin, P., Hart, D., Hassett, B., Jenkinson, R., Katz, S., Kondolf, G. M., Lake, P. S., Lave, R., Meyer, J. L., O'Donnell, T. K., Pagano, L., Powell, B. and Sudduth, E., 2005. Synthesizing U. S. river restoration efforts, *Science*, 308, 636-637.
 - Cancienne, R. M., Fox, G. and Simon, A., 2008. Influence of seepage undercutting on

- Slope angles in friable loess, *Journal of Geology*, 76(3), 247-258.
- Midgley, T. L., Fox, G. A. and Heeren, D. M., 2012. Evaluation of the bank stability and toe erosion model (BSTEM) for predicting lateral retreat on composite streambanks, *Biological Systems Engineering: Papers and Publications*. Paper 312. , *Geomorphology*, 145-146, 107-114
 - Osman, A.M. and Thorne, C.R., 1988. Riverbank stability analysis. Part I: Theory. *Journal of the Hydraulics Division*, ASCE, 114(2), 125-150.
 - Partheniades, E., 1965. Erosion and deposition of cohesive soils. *Journal of the Hydraulics Division of the American Society of Civil Engineers*, 91 (1), 105-139.
 - Pollen, N. and Simon, A., 2005. Estimating the mechanical effects of riparian vegetation on stream bank stability using a fiber bundle model, *Water Resources Research*, 41, W07025, doi: 10.1029/2004WR003801.
 - Pollen, N., 2007. Temporal and spatial variability in root reinforcement of streambanks: Accounting for soil shear strength and moisture, *Catena*, 69, 197-205.
 - Pollen-Bankhead, N. and Simon, A., 2009. Enhanced application of root-reinforcement algorithms for bank-stability modeling, *Earth Surface Processes Landforms*, 34(4), 471-480.
 - Rinaldi, M. and Casagli, N., 1999. Stability of streambanks formed in partially saturated soils and effects of negative pore water pressures: the Sieve River (Italy), *Geomorphology*, 26(4), 253-277.
 - Rinaldi, M. and Simon, A., 1998. Bed-level adjustments in the Arno River, Central Italy, *Geomorphology*, 22, 57-71.
 - Rosgen, D., 2001. A practical method of computing stream bank erosion rate. p. 9-15. In Proc. 7th Federal Interagency Sedimentation Conf., Reno, NV. 25-29 Mar. 2001. Vol. 2. USGS, Reston, VA.
 - Simon, A. and Darby, S. E., 1999. The nature and significance of incised river channels. In: Darby, S. E., Simon, A. (eds.), *incised river channels*, John Wiley and Sons, Chichester, UK, 452.
 - Sekely, A. C., Mulla, D. J. and Bauer, D. W., 2002. Stream bank slumping and its contribution to the phosphorus and suspended sediment loads of the Blue Earth River, Minnesota, *Journal of Soil and Water Conservation*, 57, 243-250.
 - Simon, A. and Collison, A. J. C., 2002. Quantifying the mechanical and hydrologic effects of riparian vegetation on streambank stability, *Earth Surface Processes and Landforms*, 27, 527-546.
 - Simon, A., Curini, A., Darby, S. E. and Langendoen, E. J., 2000. Bank and near-bank processes in an incised channel, *Geomorphology*, 35, 183-217.
 - Simon, A. and Rinaldi, M., 2006. Disturbance, stream incision, and channel evolution: The roles of excess transport capacity and boundary materials in controlling channel response, *Geomorphology*, 79, 361-383.
 - Simon, A., Derrick, D., Alonso, C. V. and Pollen-Bankhead, N., 2008. Application of a deterministic bank-stability model to design a reach-scale restoration project, in *Proceedings of the World Environmental and Water Resources Congress 2008 Ahupua'a [CD-ROM]*, edited by R. W. Babcock Jr. and R. Walton, Am. Soc. of Civ. Eng., Reston, Va.

- Simon, A., Pollen, N. and Langendoen, E., 2006. Influence of two woody riparian species on critical conditions for stream bank stability: Upper Truckee River, California, *Journal of American Water Resource Associates*, 42(1), 99-113.
- Simon, A., Bankhead, N. and Thomas, R. E., 2010. Iterative bank stability and toe-erosion modeling for predicting stream bank loading rates and potential load reductions, paper presented at Joint Federal Interagency Conference, Subcommittee on Hydrology and Sedimentology Advisory Committee on Water Info. Las Vegas, Nevada., 27 June to 1 July.
- Simon, A., 1989. A model of channel response in disturbed alluvial channels, *Earth Surface Processes and Landforms*, 14, 11-26.
- Simon, A., Wolfe, W.J. and Molinas, A., 1991. Mass-wasting algorithms in an alluvial channel model. *Proceedings of the 5th Federal Interagency Sedimentation Conference*, Las Vegas, Nevada: 8-22.
- Thorne, C.R., 1982. Processes and mechanisms of river bank erosion, gravel bed rivers, editors by Hey, R.D., Bathurst, J.C. and Thorne, C.R., John Wiley & Sons Ltd. 227-271.
- Thorne, C.R., Reed, S. and Doornkamp, J.C., 1996. A procedure for assessing river bank erosion problems and solutions. *Research and Development Report 28*. National Rivers Authority: Bristol.
- Thorne, C.R., 1998. Stream Reconnaissance Handbook. Geomorphological investigation and analysis of river channels. John Wiley & Sons: Chichester, 142.
- Lohnes, R.A. and Handy, R.L., 1968. Slope angles in friable loess, *Journal of Geology*, 76 (3), 247-258.
- Thorne, C.R., Murphey, J.B. and Little, W.C., 1981. Bank stability and bank material properties in the bluffline streams of northwest Mississippi. Appendix D. Report to the US Army Corps of Engineers, Vicksburg District Office, on Stream Channel Stability.
- Thorne, C.R., 1992. Bend scour and bank erosion on the meandering Red River, Louisiana. In *Lowland Floodplain Rivers: Geomorphological Perspectives*, Carling PA, Petts GE (eds). John Wiley & Sons: Chichester; 95-115.
- Wilson, C. G., Kuhnle, R. A., Bosch, D. D., Steiner, J. L., Starks, P. J., Tomer, M. D. and Wilson, G. V., 2008. Quantifying relative contributions from sediment sources in Conservation Effects Assessment Project watersheds, *Journal of Soil and Water Conservation*, 63, 523-531.
- Wynn, T. M., Mostaghimi, S., Burger, J. A., Harpold, A. A., Henderson, M. B. and Henry, L. A., 2004. Variation in root density along stream banks, *Journal of Environmental Quality*, 33, 2030-2039.
- Wynn, T. M. and Mostaghimi, S., 2006. The effects of vegetation and soil type on stream bank erosion, southwestern Virginia, USA. *Journal of the American Water Resources Association*, 42(1), 69-82.